

saray1360@aut.ac.ir :

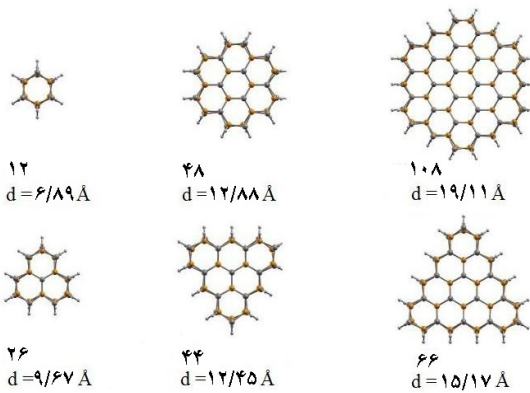
(دریافت مقاله: ۱۳۹۰/۲/۱۲؛ دریافت نسخه نهایی: ۱۳۹۰/۱۱/۲۶)

[۰۰۰]

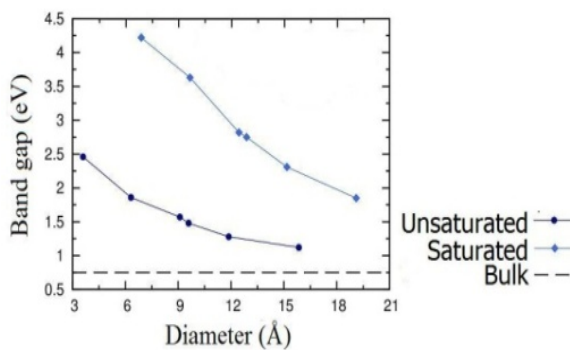
در این مجال اثر پوشش سطحی نانوسمیم‌های اکسید روی درجهت [۰۰۱] بر روی خواص الکترونیکی آنها و نیز تأثیر آن بر روی قطبش بارهای اکتریکی در حین اعمال فشار تک محور و نتایج حاصل بر روی مدول یانگ و ضریب پیزوالکتریک مورد بررسی قرار گرفته است.

در این مقاله با انجام محاسبات بر اساس نظریه تابعی چگالی، علاوه بر مطالعه اثر افزایش قطر نانوسمیم‌های اکسید روی بر روی خواص الکترونیکی و مکانیکی آنها، اثر اشباع شدگی سطح و پوشش پیوندهای آزاد آنها با اتم‌های هیدروژن بر روی محاسبه مدول یانگ و ضریب مؤثر پیزوالکتریک نشان داده شده است که می‌تواند پاسخگوی تناقضات منتج از گزارشات تجربی باشد. به نظر می‌رسد که شکل‌گیری سطح نانوسمیم‌ها و پوشش پیوندهای آزاد موجود در سطح آنها تأثیرات فراوانی بر خواص کشسانی نانوسمیم‌های اکسید روی دارد.

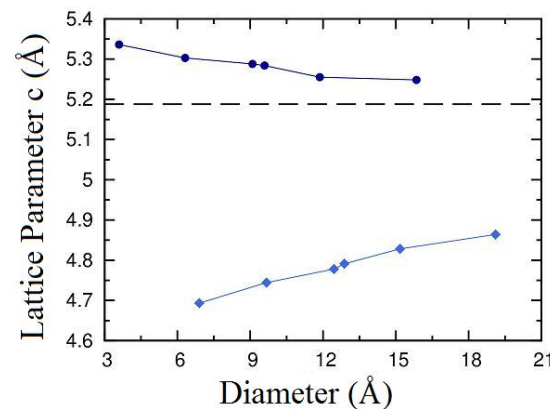
اخيراً مطالعه بر روی نانوساختارهای اکسید روی با توجه به خواص نیمه رسانایی این ماده و کاربردهای فراوانی که در زمینه نانوالکترونیک می‌توان برای آن در نظر گرفت، بسیار مورد توجه قرار گرفته است. در این میان، نانوسمیم‌های اکسید روی با داشتن ساختار یک بعدی و خواص مکانیکی و اکترونیکی منحصر به فرد، می‌توانند کاربردهای مختلفی در نانوالکترونیک داشته باشند. با توجه به اینکه روش‌های تجربی مختلفی برای رشد نانوسمیم‌های اکسید روی استفاده می‌شود [۱ و ۲]، در مطالعه خواص مکانیکی این نانوسمیم‌ها و به خصوص خواص کشسانی آنها نتایجی همسانی در خصوص محاسبه مدول یانگ و ضریب مؤثر پیزوالکتریک حاصل نشده است و تاکنون در خصوص کاهش یا افزایش مدول کشسانی و ضریب پیزوالکتریک نانوسمیم‌های اکسید روی در مقایسه با حالت توده آن در روش‌های تجربی اجتماعی حاصل نشده است [۳ و ۴].



شکل ۱. ساختار بهینه شده نانوسیم‌های اشباع شده.



شکل ۳. بهینه سازی شکاف باند در نانوسیم اکسید روی.



شکل ۲. بهینه سازی پارامتر c در نانوسیم اکسید روی.

نانوسیم‌های مجاور) در نظر گرفته شده است تا یک ساختار تک بعدی نامتناهی ایجاد کند. در نانوسیم‌های اکسید روی، اتم‌هایی که در لبه قرار می‌گیرند دارای یک پیوند آزاد می‌باشند که در نانوسیم‌های اشباع شده این پیوندهای آزاد توسط اتم‌های هیدروژن ساختگی (با کسر بار هسته ۱/۵e برای اتم‌های روی (Zn) و کسر بار هسته ۰/۵e برای اتم‌های اکسیژن (O)) پوشیده شده‌اند. با در نظر گرفتن مش بندی  $1\times 1\times 8$  و انرژی قطع برابر  $50.0\text{ eV}$  انرژی کل با دقیق در حدود  $5\text{ eV}^{10}$  محاسبه شد. اضلاع ابرسلول در امتداد محور و مختصات اتم‌ها داخل ابرسلول به گونه‌ای بهینه شده‌اند که کل فشار وارد بر هر اتم کمتر از  $15\text{ eV}/\text{\AA}$  باشد.

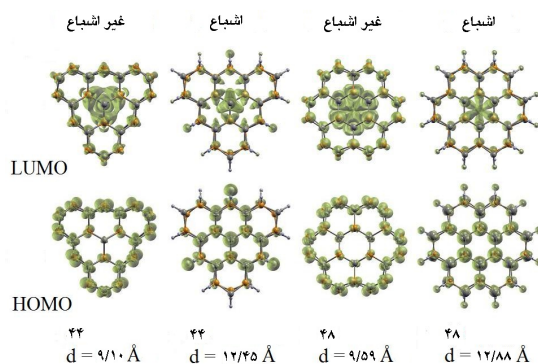
خلاصه‌ای از نتایج بهینه سازی پارامتر c در ساختار نانوسیم‌ها در جهت [۰۰۰۱] و همچنین محاسبه شکاف باند آنها در مقایسه با بلور اکسید روی در شکل‌های ۲ و ۳ آورده شده است. این نتایج نشان‌دهنده افزایش پارامتر c در نانوسیم‌های غیر اشباع نسبت به بلور اکسید روی می‌باشند

در خاتمه، تأثیرات اشباع شدگی سطح بر تابع جذب اپتیکی و قسمت موهومنی تابع دی‌الکتریک نانوسیم‌ها و تأثیر میدان پیزوالکتریک بر خواص اپتیکی نانوسیم‌های اکسید روی نیز گزارش شده است.

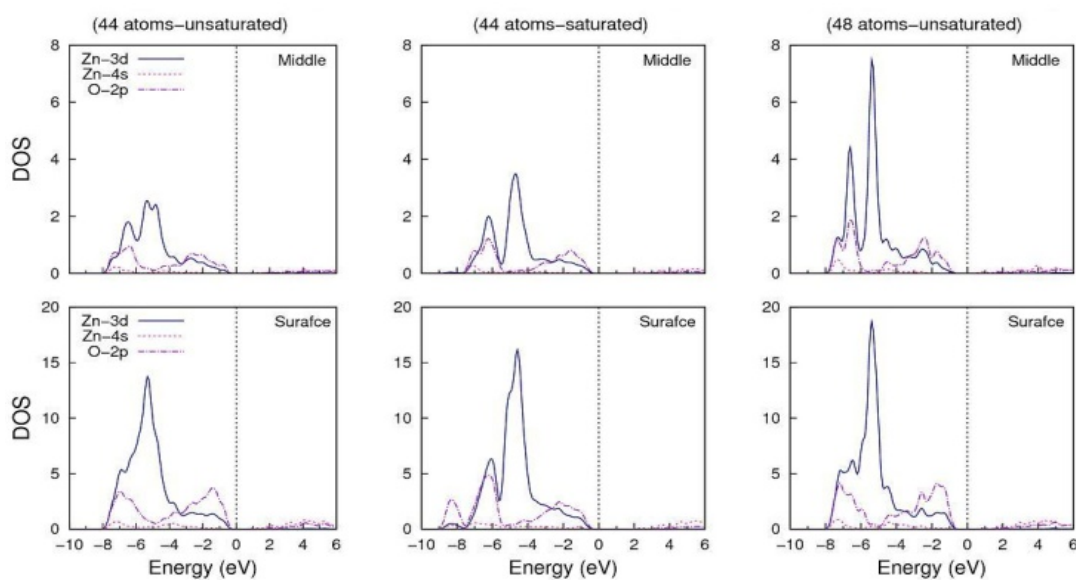
محاسبات براساس نظریه تابعی چگالی با استفاده از تقریب شیب تعیین یافته<sup>۱</sup> ایجاد شده در طرح ترولیر-مارتینز، در کد محاسباتی SIESTA [۵] ابتدا بر روی ساختار بلوری شش وجهی اکسید روی انجام شده است. ساختار اتمی نانوسیم‌های اکسید روی با سطح مقاطع مثلثی و شش وجهی بر اساس پارامترهای بهینه شده شبکه در ساختار تودهای ایجاد گردیده است (شکل ۱). هر نانوسیم با طول نامتناهی در جهت [۰۰۰۱] و قطر حداقل  $20\text{ \AA}$  در یک ابرسلول تراکونال با فاصله خلاء کافی ( $>10\text{ \AA}$ ) برای جلوگیری از برهم‌کنش

۱. Generalized gradient approximation

مطالعه اثر پوشانندگی سطح بر خواص مکانیکی و اپتیکی نانوسیم‌های اکسید روی



شکل ۴. چگالی موضعی نانو سیم‌های اکسید روی.



شکل ۵. چگالی تصویر شده نانوسیم‌های اکسید روی.

شکل ۴ نشان‌دهنده چگالی موضعی<sup>۱</sup> ترازهای HOMO و LUMO در نقطه گاما،  $\Gamma$ ، در نانوسيم‌های اكسید روی است. ترازهای LUMO توزيع باری مشابه حالت توده‌ای را نشان می‌دهند. در حالی که، در تراز HOMO توزيع بار بيشتر مربوط به اتم‌های سطح و اوربيتال  $2p$  اكسيشن است. در نانوسيم‌های اشباع‌شده، توزيع بارها بيشتر مشابه حالت توده‌ای می‌باشد به طوريکه تمرکز آنها را بيشتر در قسمت مرکز نانوسيم می‌توان مشاهده کرد.

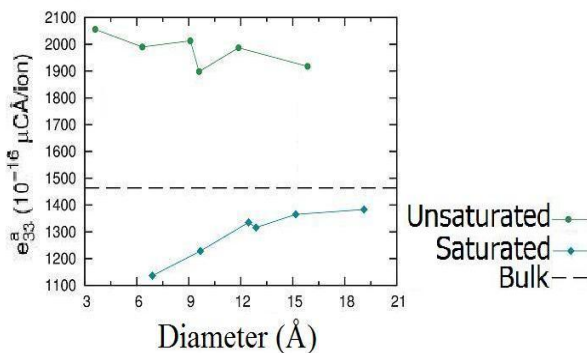
در شکل ۵ چگالی تصویر شده برای اتم‌های روی سطح نانوسیم و اتم‌های داخل سیم نشان داده شده است. در

در حالی که در مورد نانو سیم های اشباع شده نتیجه ای کاملاً بر عکس به دست می آید. در حین بهینه سازی ساختار نانو سیم های غیر اشباع، اتم های سطح به سمت مرکز نانو سیم مت مرکز می شوند و دافعه بیشتری در جهت [٥٠١] ایجاد می کنند که خود باعث افزایش پارامتر  $c$  می شود ولی در نانو سیم های اشباع شده، به علت پوشش پیوندهای آزاد در سطح توسط اتم های هیدروژن، اتم ها طی بهینه سازی تمایلی به تجمع در مرکز نشان نمی دهند.

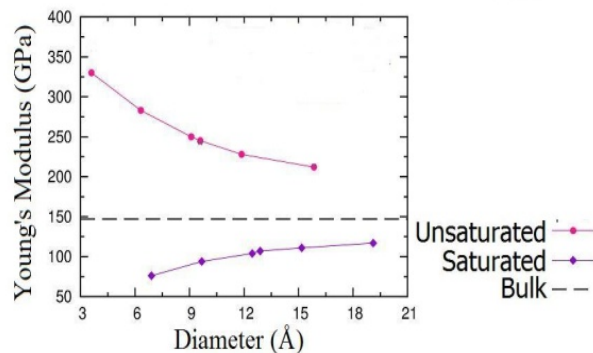
شکاف باند محاسبه شده برای نانو سیم های اشباع شده در نقطه گاما،  $\Gamma$ ، مقادیر بیشتری نسبت به شکاف باند نانو سیم های غیر اشباع دارد و به طور کلی این مقادیر در نانو سیم های اکسید روی در مقایسه با مقدار شکاف باند محاسبه شده برای بلور اکسید روی افزایش قابل توجهی نشان می دهند.

---

## 1. Local density of states



شکل ۷. ضریب مؤثر پیزوالکتریک نانوسمیم‌های اکسید روی.



شکل ۸. محاسبه مدول یانگ در نانوسمیم‌های اکسید روی.

اشباع شده قلمداد کرد.

مقالات بسیاری در زمینه مطالعه تجربی خواص پیزوالکتریکی نانوسمیم‌های اکسید روی در امتداد [۰۰۰۱] متشمر شده است [۸]. نتایج این آزمایشات با یکدیگر تناقض دارند بنابراین، در اینجا برای نخستین بار به مطالعه اثرات پوشانندگی بر خواص پیزوالکتریک نانوسمیم‌های اکسید روی پرداخته‌ایم تا پاسخی برای تناقضات موجود در نتایج تجربی بیاییم [۶ و ۷]. ثابت پیزوالکتریک نانوسمیم‌ها با محاسبه شبیه قطبش ماکروسکوپی آنها،  $P_i$ ، نسبت به کشش محوری،  $\epsilon_i$ ، از رابطه زیر محاسبه شده است:

$$e_{ij} = \partial P_i / \partial \epsilon_j$$

به نظر می‌رسد ثابت پیزوالکتریک  $e_{33}$  متناسب با  $1/V_{scell}$  باشد که  $V_{scell}$  حجم ابرسلولی با ارتفاع  $c$  است. بنابراین برای محاسبه دقیق‌تر ثابت پیزوالکتریک برای نانوسمیم‌های تک- بعدی از رابطه زیر استفاده شد:

$$e_{33}^a = (\partial P_3 / \partial \epsilon_3) \times V_{scell} / N$$

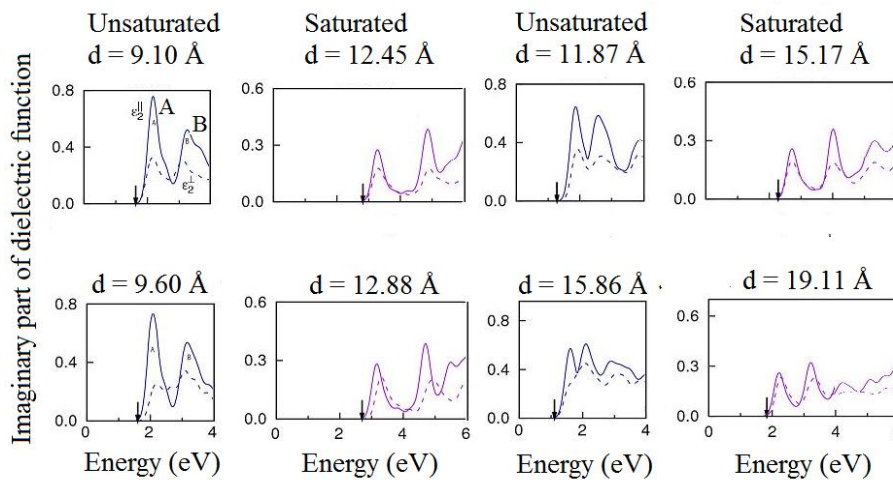
که در آن  $e_{33}^a$  ضریب پیزوالکتریک مؤثر و  $N$  تعداد اتم‌های روی (Zn) و اکسیژن (O) در یک ابرسلول است. نتایج این محاسبات در شکل ۷ خلاصه شده‌است. ضرایب پیزوالکتریک محاسبه شده برای نانوسمیم‌های غیراشباع به صورت قابل توجهی از ضریب پیزوالکتریک محاسبه شده برای بلور اکسید روی بیشتر است و رفتاری غیر خطی نسبت به قطر نانوسمیم نشان می‌دهد [۶]. در مقابل، ضریب پیزوالکتریک محاسبه شده برای نانوسمیم‌های اشباع شده مقادیر کوچکتری نسبت به ضریب

همه اشکال تراز فرمی در باند ظرفیت قرار گرفته است که نشان می‌دهد نانوسمیم‌ها چه در حالت اشباع و چه در حالت غیر اشباع نیمه هادی می‌باشند. در نانوسمیم‌های غیر اشباع، ترازهای  $p$  اکسیژن در لایه ظرفیت مجتمع شده‌اند در حالی که الکترون‌های تراز  $d$  روی در عمق  $5/3$  الکترون ولت درون این لایه قرار می‌گیرند. در نانوسمیم‌های اشباع شده، قله‌های نمودار اتم‌های روی سطح مشابه اتم‌های داخلی سیم می‌باشند.

برای توصیف خواص مکانیکی نانوسمیم‌های اکسید روی، ابتدا مدول یانگ را به صورت مشتق دوم انرژی کل،  $E$ ، نسبت به کشش تک محور  $\epsilon$ ، به شکل زیر محاسبه کردیم:

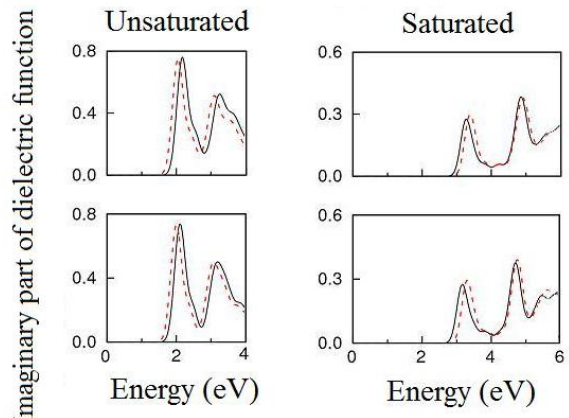
$$E_\epsilon = (1/V_0) d^2 E / d \epsilon^2 |_{\epsilon=0}$$

که در آن  $V_0$  حجم یک سلول به مساحت سطح مقطع نانوسمیم و ارتفاع پارامتر شبکه  $c$  است. مدول یانگ،  $E_3$ ، در جهت [۰۰۰۱] با کششی در محدوده  $1\% \pm$  محاسبه شد. نتایجی که در شکل ۶ ارائه شده است نشان می‌دهد که مدول یانگ در نانوسمیم‌های غیراشباع بیشتر از مقدار محاسبه شده برای بلور اکسید روی است که با نتایج مطالعات قبلی هماهنگ است [۶]. در حالی که، مقادیر محاسبه شده برای نانوسمیم‌های اشباع شده رفتاری کاملاً متفاوت نشان می‌دهند. این نتایج حاکی از صلیبت بیشتر نانوسمیم‌های غیراشباع شده است که علت آن را می‌توان تمرکز اتم‌های سطح به سمت مرکز در حین بهینه سازی ساختار نانوسمیم و کوچکتر شدن طول پیوند Zn-O در نانوسمیم‌های غیر



شکل ۸. تغییرات قسمت موهومنی تابع دیالکتریک در نانوسمیم‌ها.

دیالکتریک طولی،  $\parallel$ ، را برای قطبش نور در جهت موازی با جهت نانوسمیم، [۰۰۰۱]، و تابع دیالکتریک عرضی،  $\perp$ ، را برای قطبش نور در جهت عمود بر [۰۰۰۱] نشان داده‌ایم. تفاوت این دو در اینجا ناشی از در نظر نگرفتن اثرات میدان موضعی<sup>۱</sup> است. برای هر نانوسمیم دو قله اصلی در طیف وجود دارد (A و B) و در مقایسه با بلور اکسید روی، در نانوسمیم‌های با قطر کوچکتر، این قله‌ها به سمت طیف آبی متمایل شده‌اند. این پدیده ناشی از اثرات محدودشدنگی کواتومی است و در نانوسمیم‌های اشباع شده به علت افزایش شکاف باند این جایه‌جایی محسوس‌تر است. این قله‌ها از انتقال بار از سومین تراز نوار ظرفیت در نقطه گاما،  $\Gamma$ ، به اولین و دومین تراز نوار رسانش ناشی می‌شوند و عمده‌تاً از انتقال الکترون از اوربیتال‌های  $2p$  اکسیژن به اوربیتال  $3d$  روی به وجود می‌آیند. اثر فشاری به اندازه ۲٪ در امتداد جهت [۰۰۰۱] بر روی تابع دیالکتریک طولی در شکل ۹ نشان داده شده‌است. در نانوسمیم‌های غیراشباع قله‌های نمودار به سمت ناحیه قرمز انتقال یافته‌اند در حالی که در نانوسمیم‌های اشباع شده این انتقال بیشتر به سمت ناحیه آبی دیده می‌شود. تأثیر فشار بر طول پیوند اتم‌ها در نانوسمیم‌های اشباع شده و در نتیجه انتقال قله‌های تابع دیالکتریک کاملاً با نانوسمیم‌های غیر اشباع شده تفاوت دارد[۸].



شکل ۹. اثر فشار بر تابع دیالکتریک نانوسمیم‌ها.

پیزوالکتریک بلور اکسید روی نشان می‌دهند. به نظر می‌رسد با وجودی که اتم‌های هیدروژن که پیوندهای آزاد روی سطح نانوسمیم را می‌پوشانند، الکترونهای خود را با دیگر اتم‌های دستگاه تقسیم می‌کنند و در کل دارای سهم قطبش منفی‌اند و این مسئله به کاهش قطبش نانوسمیم‌های اشباع شده در مقایسه با نانوسمیم‌های غیراشباع و در نتیجه به کاهش ضریب پیزوالکتریک نانوسمیم‌های اکسید روی اشباع شده منجر می‌شود.

خواص اپتیکی نانوسمیم‌ها با محاسبه قسمت موهومنی تابع دیالکتریک آنها بررسی شد. در شکل ۸ نتایج محاسبه تابع

۱. Local field effect

کشسانی و در نتیجه کاهش ضریب مؤثر پیزوالکتریک و مدول یانگ آنها در مقایسه با نانوسمیم‌های غیراشباع می‌شود. چنین تغییراتی در مورد پاسخ اپتیکی نانوسمیم‌های اشباع شده نیز مشاهده شد.

اثر اشباع شدگی سطح نانوسمیم‌های اکسید روی بر روی شکاف باند و توزیع چگالی بار آنها موجب تغییراتی در خواص

5. J M Soler, E Artacho, J D Gale, A Garcia, J Junquera, P Ordejon, and D S Portal, *J. of Phys. Cond. Matt.* **14** (2002) 2745.
6. H J Xiang, J Yang, J G Hou, and Q Zhu, *Appl. Phys. Lett.* **89** (2006) 223111.
7. J Qi, D Shi, and B Wang, *Computational Materials Science* **93** (2009) 12107.
8. Y Yang, X H Yan, Y Xiao, and D Lu, *Appl. Phys. Lett.* **97** (2010) 033106.

1. L E Greene, B D Yuhas, M Law, D Zitoun, and P Yang, *Inorg. Chem.* **45** (2006) 7535-7543.
2. H E Unalan, P Hiralal, D Kuo, B Parekh, G Amaratunga, and M Chowalla, *J. Mater. Chem.* **18** (2008) 5909.
3. C Q Chen, Y Shi, Y S Zhang, J Zhu, and Y J Yan, *Phys. Rev. Lett.* **96** (2006) 075505.
4. R Zhu, D Wang, Sh Xiang, Zh Zhou, and X Ye, *Nanotechnology* **19** (2008) 2857.